

## Прочность летательных аппаратов

### АНАЛИЗ НАПРЯЖЕННОГО СОСТОЯНИЯ «ПОГРАНИЧНЫЙ СЛОЙ» В РАМКАХ НЕКЛАССИЧЕСКОЙ ТЕОРИИ ЦИЛИНДРИЧЕСКИХ ОБОЛОЧЕК

Вал. В. ФИРСАНОВ, *д-р техн. наук, профессор*

*Федеральное государственное бюджетное образовательное учреждение высшего профессионального образования «Московский авиационный институт (национальный исследовательский университет)» «МАИ»*

*125993 Москва, А-80, ГСП-3, Волоколамское шоссе, д.4 [k906@mai.ru](mailto:k906@mai.ru)*

*Представлены два варианта уточненной теории расчета напряженно-деформированного состояния в краевой зоне цилиндрических оболочек. В качестве примера рассматривается оболочка, жестко зацементированная по двум краям и подверженная действию локальных распределенных и сосредоточенных нагрузок. Проведено сравнение результатов расчета, полученных в данной работе и по классической теории.*

**КЛЮЧЕВЫЕ СЛОВА:** замкнутая цилиндрическая оболочка; два варианта уточненной теории расчета; аппроксимирующие полиномы; вариационный принцип Лагранжа; краевые условия; преобразования Лапласа; напряженно-деформированное состояние «погранслоя»; локальная нагрузка; характеристическое уравнение; поперечные нормальные напряжения.

#### **Введение**

Построение уточненных теорий и методов определения НДС пластинок и оболочек позволит решить проблему расчета на прочность таких авиационных конструкций, как силовые корпуса летательных аппаратов, различные переходные зоны и соединения, а также элементов конструкций в различных отраслях машиностроения и в строительном деле.

Учет трёхмерности НДС в элементах конструкций в сочетании с методами механики разрушения дает возможность оценить трещиностойкость в наиболее нагруженных зонах, более обоснованно выбрать тип конструкционного материала и рациональным образом распределить его вблизи концентраторов напряжений. Результаты расчета общего, местного НДС пластинок и оболочек могут быть использованы при обосновании режимов лабораторных испытаний на действие статических нагрузок, вибраций и ударов.

Один из возможных путей построения математически обоснованной теории пластинок и оболочек состоит в применении метода прямого асимптотического разложения компонентов НДС в ряды по малому параметру - относительной толщине трехмерного тела и последующем интегрировании уравнений трехмерной теории упругости.

Сформулированные краевые задачи, в силу сложности соответствующих им дифференциальных уравнений и различного типа граничных условий, напрямую решить затруднительно. В связи с этим, в работах [1,4], указанные краевые задачи с помощью вариационного метода Власова-Канторовича решены и доведены до численных результатов для прямоугольных пластинок и цилиндрических оболочек переменной толщины.

Другой подход к построению уточненной теории, называемый энергетически согласованным, заключается в разложении перемещений в полиномиальные ряды по нормальной координате и последующем применении вариационного принципа Лагранжа. Особенность этого подхода при построении уточненной теории оболочек состоит в том, что деформации оболочки находятся с помощью геометрических соотношений, тангенциальные напряжения определяются

из соотношений закона Гука и поперечные напряжения получаются интегрированием уравнений равновесия трехмерной теории упругости.

Следует отметить, что построенные в рамках энергетически согласованного подхода краевые задачи для цилиндрических оболочек [2] были обобщены на случай произвольных ортотропных оболочек [6], а также оболочек переменной толщины [5].

В данной работе на основе энергетически согласованного подхода представлены два варианта уточненной теории расчета, условно обозначаемые «K=2» и «K=3». Эти варианты отличаются степенью полиномов, аппроксимирующих искомые перемещения по толщине оболочки. Указанные полиномы имеют степень на одну или две выше по сравнению с аналогичными функциями классической теории типа Кирхгофа-Лява.

Приводится сравнение результатов расчетов по двум вариантам уточненной теории между собой и по классической теории. Оценивается влияние напряженного состояния «пограничный слой» на прочность оболочки.

### Напряженное состояние «пограничный слой»

Рассматривается замкнутая круговая цилиндрическая оболочка постоянной толщины  $h$  из isotропного материала, отнесенная к ортогональной системе координат  $\xi, \theta, z$  (рис. 1).

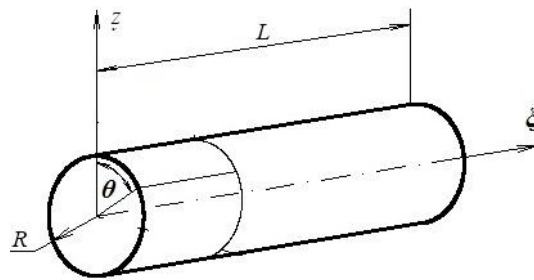


Рис. 1. Цилиндрическая оболочка

Здесь  $\xi$  представляет собой относительное (измеренное в долях  $R$ ) расстояние по образующей,  $\theta$  - центральный угол, а ось  $z$  направлена по внешней нормали к срединной поверхности радиуса  $R$ .

Считаем, что на лицевых  $z = \pm h$  поверхностях оболочки заданы следующие граничные условия:

$$\sigma_{33}(\pm h) = q_{33}^{\pm},$$

где  $q_{33}^{\pm}$  обозначают осесимметричные нагрузки, действующие на верхней и нижней поверхностях оболочки в направлении координаты  $z$ .

Будем предполагать в дальнейшем, что искомые упругие перемещения  $U_1, U_2$ , допускают асимптотические представления вида:

$$U_1(\xi, z) = u_0(\xi) + u_1(\xi)z + u_2(\xi)\frac{z^2}{2!} + u_3(\xi)\frac{z^3}{3!}, \quad (1)$$

$$U_2(\xi, z) = w_0(\xi) + w_1(\xi)z + w_2(\xi)\frac{z^2}{2!},$$

где индексы 1,2 соответствуют осям  $\xi$  и  $z$  соответственно.

Аппроксимирующие полиномы (1) соответствуют варианту теории  $K=3$ . Для варианта теории  $K=2$  в формулах (1) отбрасываются последние слагаемые, для классической теории типа Кирхгофа - Лява – по два последних слагаемых.

Используя вариационный принцип Лагранжа, с учетом разложения (1), получим систему дифференциальных уравнений в перемещениях [6], которая для рассматриваемого случая принимает вид:

$$\begin{aligned} & \left( Kl_0^{u_0} + Kl_{11}^{u_0} \frac{d^2}{d\xi^2} \right) u_0 + \left( Kl_0^{u_1} + Kl_{11}^{u_1} \frac{d^2}{d\xi^2} \right) u_1 + \left( Kl_0^{u_2} + Kl_{11}^{u_2} \frac{d^2}{d\xi^2} \right) u_2 + \\ & + \left( Kl_0^{u_3} + Kl_{11}^{u_3} \frac{d^2}{d\xi^2} \right) u_3 + Kl_1^{w_0} \frac{d}{d\xi} w_0 + Kl_1^{w_1} \frac{d}{d\xi} w_1 + Kl_1^{w_2} \frac{d}{d\xi} w_2 = 0, \quad l=1,2,3,4, \end{aligned} \quad (2)$$

$$\begin{aligned} & Kj_1^{u_0} \frac{d}{d\xi} u_0 + \left( Kj_0^{w_0} + Kj_{11}^{w_0} \frac{d^2}{d\xi^2} \right) w_0 + Kj_1^{u_1} \frac{d}{d\xi} u_1 + \left( Kj_0^{w_1} + Kj_{11}^{w_1} \frac{d^2}{d\xi^2} \right) w_1 + \\ & + Kj_1^{u_2} \frac{d}{d\xi} u_2 + \left( Kj_0^{w_2} + Kj_{11}^{w_2} \frac{d^2}{d\xi^2} \right) w_2 + Kj_1^{u_3} \frac{d}{d\xi} u_3 = Kj_0^{q_{33}^+} q_{33}^+ - Kj_0^{q_{33}^-} q_{33}^-, \quad j = \pm 5, 6, 7. \end{aligned}$$

с граничными условиями на жестко защемленных краях оболочки следующего вида

$$u_i = 0, (i = \overline{1,4}); \quad w_k = 0, (k = \overline{1,3}) \quad \text{при } \xi = 0, \quad \zeta = L/R.$$

В уравнениях (2) коэффициенты  $Kl, Kj$  с буквенными и числовыми индексами представляют собой постоянные величины, зависящие от геометрических параметров и упругих постоянных материала оболочки;  $u_i, w_k$  – коэффициенты разложений искомых перемещений в выражениях (1). Формулы для указанных коэффициентов в более общем случае нагружения приведены в [6].

В матричном виде однородные уравнения, соответствующие (2), записываются как

$$\mathbf{D}[u_0, u_1, u_2, u_3, w_0, w_1, w_2]^T = \mathbf{0}. \quad (3)$$

Здесь  $\mathbf{D}$  – квадратная матрица размером  $7 \times 7$  коэффициентов уравнений (3),  $\mathbf{0}$  – нулевой вектор.

Пусть  $F_1(\xi)$  есть решение уравнения (3), т.е.

$$\det(\mathbf{D})F_1(\xi) = 0,$$

где  $\det(\mathbf{D})$  – определитель матрицы  $\mathbf{D}$ .

Тогда  $u_i, w_k$ , определяемые формулами

$$\begin{aligned} u_0 &= \sum_{m=1}^7 \det(\mathbf{D})_{1m} F_1, \quad u_1 = \sum_{m=1}^7 \det(\mathbf{D})_{2m} F_1, \quad u_2 = \sum_{m=1}^7 \det(\mathbf{D})_{3m} F_1, \quad u_3 = \sum_{m=1}^7 \det(\mathbf{D})_{4m} F_1, \\ w_0 &= \sum_{m=1}^7 \det(\mathbf{D})_{5m} F_1, \quad w_1 = \sum_{m=1}^7 \det(\mathbf{D})_{6m} F_1, \quad w_2 = \sum_{m=1}^7 \det(\mathbf{D})_{7m} F_1, \end{aligned}$$

дают решение однородного уравнения (3). Здесь  $\det(\mathbf{D})_{sm}$  – минор определителя  $\det(\mathbf{D})$ , соответствующий элементу  $(s,m)$  матрицы  $\mathbf{D}$  ( $s = \overline{1,7}$ ).

Дифференциальному уравнению (3) соответствует характеристическое уравнение, которое можно представить как

$$p^2 \sum_{n=0}^6 H_n^0 p^{2n} = p^2 \Delta_1 = 0, \quad n = 1..6, \quad (4)$$

где  $H_n^0$  – постоянные коэффициенты, зависящие от величины  $\varepsilon_0 = h/R$  и коэффициента Пуассона  $\mu$ .

Кроме нулевых корней, уравнение (4) имеет следующие корни:

$$\pm p_1 \pm iq_1, \pm p_2 \pm iq_2, \pm p_3, \pm p_4.$$

Тогда  $\Delta_1$  можно представить в виде

$$\Delta_1 = H_6^0 \left[ (p - p_1)^2 + q_1 \right] \left[ (p + p_1)^2 + q_1 \right] \left[ (p - p_2)^2 + q_2 \right] \times \\ \times \left[ (p + p_2)^2 + q_2 \right] (p^2 - p_3^2)(p^2 - p_4^2).$$

Таким образом, общее решение уравнения (3) получается в виде

$$u_0 = C_{13} + C_{14}\xi + \sum_{m=1}^7 \det(\mathbf{D})_{1m} \bar{F}_1, \quad u_1 = \sum_{m=1}^7 \det(\mathbf{D})_{2m} \bar{F}_1, \quad u_2 = \sum_{m=1}^7 \det(\mathbf{D})_{3m} \bar{F}_1, \\ u_3 = \sum_{m=1}^7 \det(\mathbf{D})_{4m} \bar{F}_1, \quad w_0 = -C_{14}\mu + \sum_{m=1}^7 \det(\mathbf{D})_{5m} \bar{F}_1, \\ w_1 = -C_{14} \frac{\mu}{R} + \sum_{m=1}^7 \det(\mathbf{D})_{6m} \bar{F}_1, \quad w_2 = \sum_{m=1}^7 \det(\mathbf{D})_{7m} \bar{F}_1,$$

где

$$\bar{F}_1(\xi) = (C_1 \sin q_1 \xi + C_2 \cos q_1 \xi) e^{-P_1 \xi} + (C_3 \sin q_1 \xi + C_4 \cos q_1 \xi) e^{P_1 \xi} + \\ + (C_5 \sin q_2 \xi + C_6 \cos q_2 \xi) e^{-P_2 \xi} + (C_7 \sin q_2 \xi + C_8 \cos q_2 \xi) e^{P_2 \xi} + \\ + C_9 e^{-P_3 \xi} + C_{10} e^{P_3 \xi} + C_{11} e^{-P_4 \xi} + C_{12} e^{P_4 \xi}.$$

Анализ результатов показывает, что при расчете оболочек корни характеристического уравнения разделяются на две группы: асимптотически малые  $\pm p_1 \pm iq_1$  и большие  $\pm p_2 \pm iq_2, \pm p_3, \pm p_4$  корни. Асимптотически малым корням соответствуют основные НДС, которые приближенно определяются по классической теории оболочек. Асимптотически большим корням  $\pm p_2 \pm iq_2, \pm p_3, \pm p_4$  соответствуют напряженные состояния оболочки, которые назовем дополнительными краевыми эффектами типа «погранслои».

Для нахождения частного решения уравнений (2) используется преобразование Лапласа. Частные решения для более общего случая нагружения цилиндрической оболочки приводятся в [3].

### Результаты расчетов и их сравнение с классической теорией

На рис. 2- 5 показаны результаты расчета НДС оболочки, имеющей следующие параметры: относительная длина  $\xi_0 = L/R = 4$ , радиус  $R=0.1$  м, относительная полутолщина  $\varepsilon_0 = h/R = 1/80$ , коэффициент Пуассона  $\mu=0.3$ . Оболочка жестко закреплена на двух концах. Распределенная по контуру постоянная сосредоточенная сила  $P$  приложена в середине оболочки. На данных рисунках аббревиатура “Gol” соответствует результатам расчета по классической теории.

Анализируя графики на рис. 2-3, можно установить: максимальные нормальные напряжения  $\sigma_{11}$ , соответствующие уточненной теории « $K=3$ », превышают значения этих же напряжений, определяемых по классической теории, на 65%; различие в величинах этих напряжений, полученных по уточненным теориям « $K=2$ » и « $K=3$ », составляет 25%;

Максимальные нормальные напряжения  $\sigma_{22}$ , полученные по уточненной теории « $K=3$ » превышают напряжения, соответствующие классической теории,

на 60%, разница в величинах этих напряжений, определяемых по уточненным теориям « $K=3$ » и « $K=2$ », составляет около 10%;

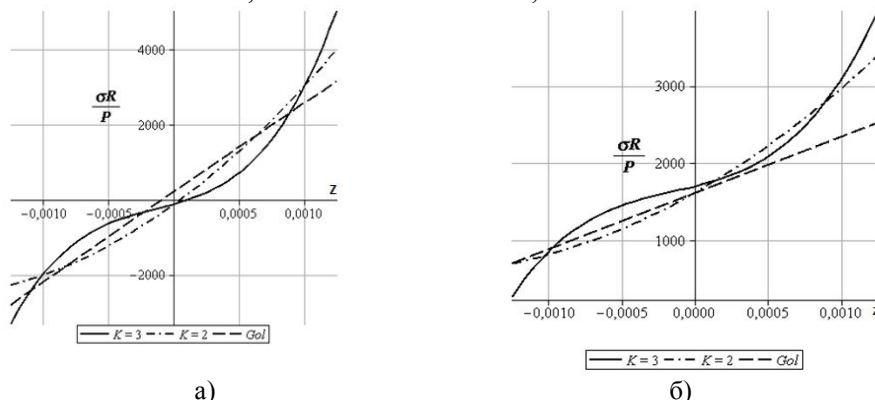


Рис. 2. Изменение тангенциальных нормальных напряжений по толщине оболочки в точке приложения силы: а)  $\sigma_{11}$ ; б)  $\sigma_{22}$

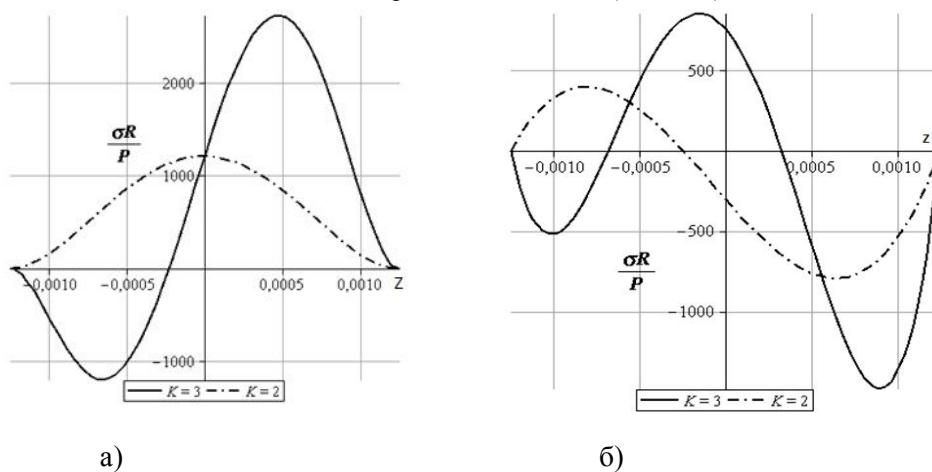


Рис. 3. Изменение поперечных напряжений по толщине оболочки в точке приложения силы: а)  $\sigma_{33}$ , б)  $\sigma_{13}$

Максимальные поперечные нормальные напряжения  $\sigma_{33}$ , величины которых составляют 55% от  $\sigma_{11}$ , по уточненным теориям « $K=3$ » и « $K=2$ » отличаются друг от друга в два раза, а также характером распределения по толщине.

### Выводы

На основании полученных результатов, можно сделать вывод, что, по сравнению с классической теорией, уточненная теория оболочек учитывает дополнительные краевые эффекты типа «погранслои», которые вносят существенный вклад в общее НДС оболочки вблизи зон искажения напряженного состояния, например, вблизи жестко заземленного края, зоны действия локальной нагрузки, в окрестности скачкообразного изменения жесткостных характеристик и др.

### Литература

1. Фирсанов В.В. Погранслой и его влияние на прочность цилиндрической оболочки переменной толщины// Вестник МАИ. 2010.Т.17. №5.С.212-218.
2. V.V. Firсанov and Ch.N. Doan. Energy-Consistent theory of cylindrical shells. //Journal of Machinery Manufacture and Reliability, 2011, Vol.40, No.6, pp.543-548.
3. Firсанov V.V., Doan T.N. Investigation of the statics and free vibrations of cylindrical shells on the basis of a nonclassical theory// Composites: Mechanics, Computations, Applications: An International Journal/ Begell House, INC.,2015. Vol.6, Issue 2.Pp 135-166.

4. Фирсанов Вал.В. Напряженное состояние типа «пограничный слой» - краевое кручение прямоугольной пластинки // Строительная механика инженерных конструкций и сооружений. 2016. №6. С.44-51.

5. Фирсанов Вал.В., Доан Ч.Н., Хиеу Л.Ч. Уточненная теория расчета напряженно-деформированного состояния цилиндрической оболочки переменной толщины // Вестник МАИ. 2013. Т.20. № 4. С.198-211.

6. Фирсанов Вал.В., Доан Ч.Н. Энергетически согласованный подход к исследованию упругих оболочек произвольной геометрии// Вестник МАИ. 2011. Т.18. №1. С.194-207.

#### References

1. Firsanov V.V. (2010). Boundary layer and its influence on strength of cylindrical shell with a variable thickness, *Vestnik MAI*, Vol.17, №5, 212-218.

2. V.V. Firsanov and T.N. Doan (2011). Energy-Consistent theory of cylindrical shells, *Journal of Machinery Manufacture and Reliability*, Vol. 40, No.6, pp.543-548.

3. Firsanov V.V., Doan T.N. (2015). Investigation of the statics and free vibrations of cylindrical shells on the basis of a neoclassical theory, *Composites: Mechanics, Computations, Applications: An International Journal/ Begell House, INC.*, Vol.6, Issue 2, p 135-166.

4. Firsanov V.V. (2016). Stress state called as “boundary layer” is boundary torsion of the rectangular plate, *Structural Mechanics of Engineering Constructions and Buildings*, №6, pp. 44-51.

5. Firsanov Val.V., Doan T.N., Hieu L.T.(2013). The update theory calculation of the strain stress state of cylindrical shells with variable thickness, *Vestnik MAI*, Vol.20, №4, pp.198-211.

6. Firsanov Val.V., Doan T.N. (2011). Energy concerted the approach to research of elastic arbitrary shells, *Vestnik MAI*, Vol.18, №1, pp. 194-207.

#### ANALYSIS OF THE “BOUNDARY LAYER“ STRESS-STRAIN STATE IN FRAMES OF THE NONCLASSICAL CYLINDRICAL SHELL THEORY

Val.V. Firsanov

*Moscow Aviation Institute, Moscow, Russia*

Two variants of a refined theory of determining the stress-strain state in the boundary zone of a cylindrical shells are represented. As an example the calculations of a shell with rigidly restrained on two edges and under the influence of local distributed and concentrated loadings is considered. The Comparison of calculation results of the stress-strain state shell obtained in this work and by the classical theory is given.

KEY WORDS: closed cylindrical shell, two variants of refined theory, approximation by polinomials, virtual principle of Lagrange, edge conditions, Laplace transform, local loading, the characteristic equation, “boundary layer”, normal transverse stress.

